

# Cupole geodetiche e Fullerene

14 dicembre 2011

Una cupola geodetica è una struttura semisferica composta da aste che si intersecano in triangoli. Dal punto di vista matematico possiamo definire cupola geodetica un tipo di triangolazione della sfera: in particolare tra tutte le divisioni in triangoli di una superficie sferica, si chiamano "geodetiche" quelle in cui i lati dei triangoli giacciono sui cerchi massimi della sfera. Come abbiamo visto i cerchi massimi sono cammini "geodetici" sulla sfera, e svolgono dunque un ruolo fondamentale per la misura delle distanze (cap. La Sfera). Da un punto di vista matematico le cupole con vertici di grado 5 e 6<sup>1</sup> hanno una simmetria icosaedrica; questa simmetria è presente anche in natura (ad esempio, alcune molecole di virus hanno la forma di piccole cupole geodetiche).

## 1 Definizioni e prime proprietà

**Definizione 1.1** *Un fullerene è un poliedro topologicamente semplice, che ha facce pentagonali ed esagonali, e tutti i vertici di grado 3*

**Definizione 1.2** *Una cupola geodetica è il duale topologico di un fullerene. In particolare, ha vertici di grado 5 e 6, e tutte facce triangolari.*

N.B. Non è stata imposta alcuna condizione di simmetria. Il fatto che le cupole geodetiche costruite siano in genere somiglianti ad una sfera anche dal punto di vista delle simmetrie, è una richiesta ulteriore che indagheremo più in là. Del resto per costruire cupole geodetiche, la scelta della simmetria su cui basarsi non è banale. Si parte da un poliedro simmetrico, e se ne ottengono triangolazioni (non regolari) che mantengono le sue simmetrie.

**Teorema 1.1** *Un fullerene ha esattamente 12 facce pentagonali.*

(Commento: ne segue che una cupola geodetica ha esattamente 12 vertici di grado 5.)

### **Dimostrazione**

Essendo il poliedro semplice, è valida la formula di Eulero:

$$V - S + F = 2$$

dove, come sempre,  $V$  è il numero dei vertici del poliedro,  $F$  il numero delle sue facce,  $S$  il numero degli spigoli.

---

<sup>1</sup>in altre parole le cupole che abbiano solo vertici da cui partono 5 o 6 spigoli

Il fullerene ha solo facce pentagonali ed esagonali, e siamo interessati al numero di facce pentagonali. Dunque annotiamo  $F_6$  per il numero di facce esagonali ed  $F_5$  per il numero di facce pentagonali.

Osservazioni:

- ogni vertice ha grado 3, cioè vi concorrono 3 spigoli ; del resto ogni spigolo è limitato da due vertici, quindi contando tutti gli  $S$  spigoli abbiamo contato 3 volte i vertici, ma poi dobbiamo dividere per 2:

$$3V = 2S.$$

- ogni spigolo è comune a 2 facce, dunque se contiamo gli spigoli faccia per faccia, e poi sommiamo sulle facce, li contiamo tutti 2 volte:

$$6F_6 + 5F_5 = 2S.$$

Da queste osservazioni eliminiamo senz'altro il numero degli spigoli, ottenendo

$$3V = 6F_6 + 5F_5.$$

Moltiplichiamo per 6 la formula di Eulero:

$$6V - 6S + 6F = 12$$

in cui  $F = F_6 + F_5$  e dunque

$$6V - 6S + 6(F_6 + F_5) = 12$$

che possiamo anche scrivere

$$6V - 6S + (6F_6 + 5F_5) + F_5 = 12.$$

Inserendo in questa uguaglianza quella ottenuta subito prima ed eliminando anche qui il numero degli spigoli, che conosciamo in funzione delle altre due quantità, abbiamo:

$$6V = 2(6F_6 + 5F_5)$$

$$6S = 3(6F_6 + 5F_5)$$

dunque

$$6V - 6S = -(6F_6 + 5F_5)$$

e sostituendo

$$-(6F_6 + 5F_5) + (6F_6 + 5F_5) + F_5 = 12$$

cioè appunto

$$F_5 = 12$$

come volevamo dimostrare.

**Osservazione 1.1** Il numero delle facce esagonali in un fullerene può variare, ma non in modo del tutto arbitrario. Nella formula di Eulero sostituiamo 12 al posto di  $F_5$ , e, usando le relazioni tra spigoli, facce e vertici, si ha:

$$V - \frac{1}{2}(60 + 6F_6) + F_6 + 10 = 0 \Leftrightarrow 2V - 4F_6 - 60 + 20 = 0,$$

da cui  $2F_6 = V - 20$ .

**Osservazione 1.2** Un pallone da calcio è un fullerene, composto da pentagoni ed esagoni *regolari* e tutti uguali tra loro. Il pallone da calcio è chiamato  $C_{60}$  in chimica, dal numero di atomi di carbonio, disposti sui vertici, che compongono la molecola. E' il più piccolo fullerene.

Volendone costruire uno più grande:

- se vogliamo mantenere le facce regolari, possiamo solo aumentare la misura del lato, che è comune a tutti i poligoni che lo compongono;
- possiamo inserire più esagoni, di diverso lato, e in ogni caso il numero di pentagoni rimarrà necessariamente immutato.

**Esercizio 1.1** *Tra tutti i fullereni con un numero di facce maggiore di quelle del pallone da calcio, quanti esagoni ha il più piccolo? In altre parole dopo il  $C_{60}$  che fullerene c'è?*

Per dualità possiamo trasferire queste proprietà sulle cupole geodetiche: una cupola geodetica ha esattamente 12 vertici di grado 5; può non avere alcun vertice di grado 6, in questo caso la cupola è un icosaedro regolare o meno. Se visono vertici di grado 6 evidentemente il loro numero soddisfa:

$$2V_6 = F - 20.$$

## 1.1 Classificazione delle cupole

I biologi molecolari Caspar e Klug all'inizio degli anni 60 si resero conto, attraverso osservazioni al microscopio, che molte molecole virali presentavano una simmetria icosaedrica. In particolare capirono che i virus di forma "sferica" avevano simmetria tetraedrale, ottaedrale, e nella maggior parte icosaedrale e procedettero ad una classificazione di queste ultime. Vedremo che sorprendentemente ne esistono solo tre tipi.

In quello stesso periodo B. Fuller lavorava a comporre e progettare alle cupole geodetiche icosaedriche. Ne seguirono numerosi studi. Procediamo a classificare matematicamente le cupole geodetiche a simmetria icosaedrica.

### 1.1.1 Diverse triangolazioni e diverse cupole

Il procedimento di triangolazione e poi di classificazione può essere pensato nel seguente modo. Si consideri, sul piano, un reticolo di triangoli equilateri. Vogliamo *avvolgere* questo reticolo su un icosaedro regolare, tagliando via degli interi triangoli per consentire le piegature nello spazio tridimensionale.

E' necessario che sui 12 vertici dell'icosaedro finale vadano a coincidere 12 dei molti vertici della tassellazione. O meglio: il vettore che unisce due vertici adiacenti dell'icosaedro (pensato sviluppato sul piano) deve essere un vettore di traslazione del reticolo, o una combinazione lineare di due dei vettori minimi di traslazione. I 12 vertici dell'icosaedro saranno alla fine proprio i vertici di grado 5 della cupola geodetica.

Prendiamo in considerazione, come in figura 1, una triangolazione piana: nel punto  $A$  mettiamo l'origine del nostro sistema di riferimento, il triangolo  $ABC$  appartiene all'icosaedro finale. Le coordinate  $(b, c) = (3, 2)$  del vettore che unisce i due vertici (adiacenti)  $A$  e  $B$  dell'icosaedro, definiscono completamente la triangolazione icosaedrica. Infatti i vertici sono tutti equivalenti per simmetria, quindi questa costruzione può essere ripetuta su ognuno dei 12 vertici. Queste due "coordinate" definiscono la *frequenza* della cupola geodetica.

I numeri  $(b, c)$  possono essere scelti ad arbitrio, ma una volta scelti la cupola geodetica che si viene a formare rientra in una delle tre elencate dalla classificazione.

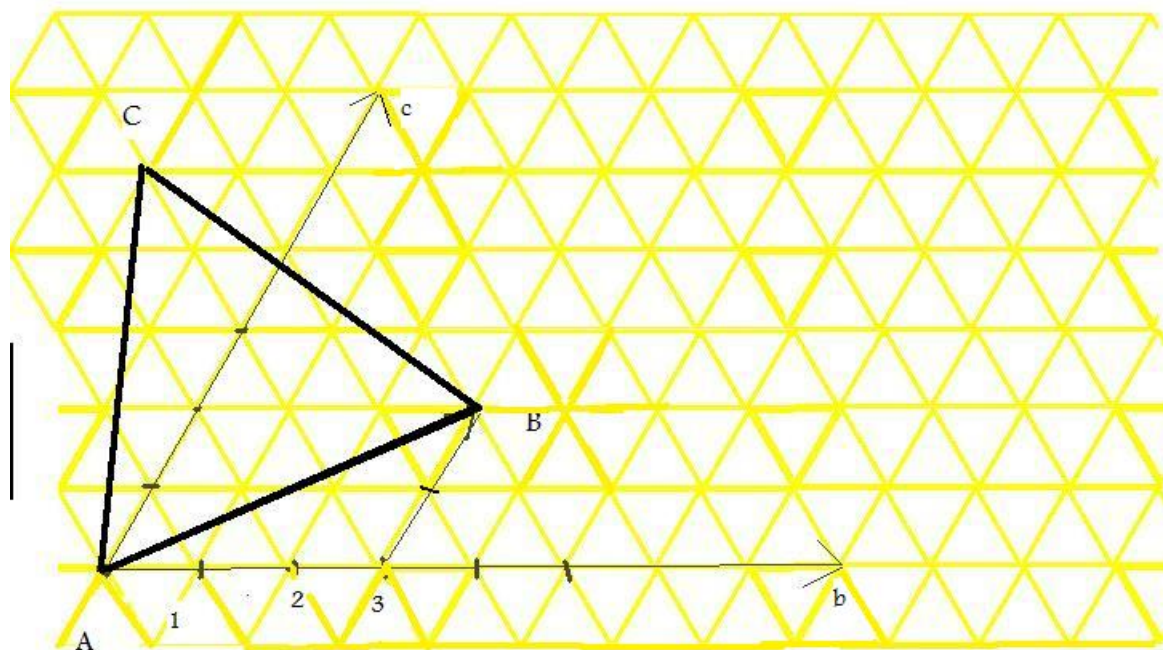


Figura 1: I punti  $A$  e  $B$  sono vertici dell'icosaedro, il vettore che li unisce ha coordinate  $(3, 2)$  nel sistema di riferimento del reticolo

I casi possibili sono tre e sono illustrati in figura 2:

- (1)  $b = 0, c > 0$
- (2)  $b = c > 0$

(3)  $b > c > 0$

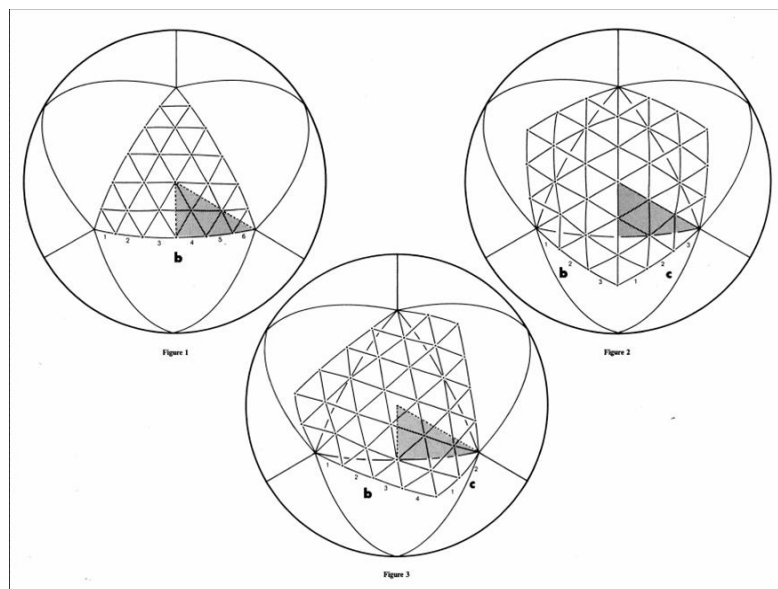


Figura 2: Le tre possibili cupole geodetiche

I numeri  $T = (b^2 + bc + c^2)$  detti *triangulation numbers* ([1]), forniscono il numero di triangoli per ogni faccia dell'icosaedro. Il numero totale di triangoli presenti nella cupola così costruita sarà dunque  $20T$ .

.....” Quando Fuller crea una cupola geodetica suddivide uno dei 20 triangoli di un icosaedro in tanti triangoli equilateri, seguendo un pattern. Ripete poi il pattern su ogni faccia e lo trasferisce poi sulla sfera circoscritta con una proiezione centrale....“(Coxeter, ”Virus, macromolecules and geodesic domes”).

In figura 3 vediamo lo sviluppo piano di un icosaedro, con una triangolazione di frequenza (1, 2).

Ripetendo il pattern su tutto lo sviluppo dell'icosaedro, ricomponendo poi il solido e infine proiettando lo schema sulla sfera circoscritta, si ottiene una cupola geodetica, di frequenza (1, 2).

La notazione di Schläfli di un poliedro regolare ha la forma  $\{p, q\}$  e segnala che le sue facce sono  $p$ -agoni e in ogni suo vertice incidono  $q$  facce. L'icosaedro è  $\{3, 5\}$ , il dodecaedro è  $\{5, 3\}$ , infatti sono duali, vertici e facce si invertono nei loro rispettivi ruoli. Quindi al tetraedro è associata la coppia  $\{3, 3\}$ , a cubo e ottaedro associamo rispettivamente  $\{4, 3\}$  e  $\{3, 4\}$ . Per classificare una cupola geodetica, servono gli altri due parametri, descritti sopra, che abbiamo chiamato  $(b, c)$  e che usualmente vengono posti come pedici nella notazione di Schläfli dell'icosaedro:

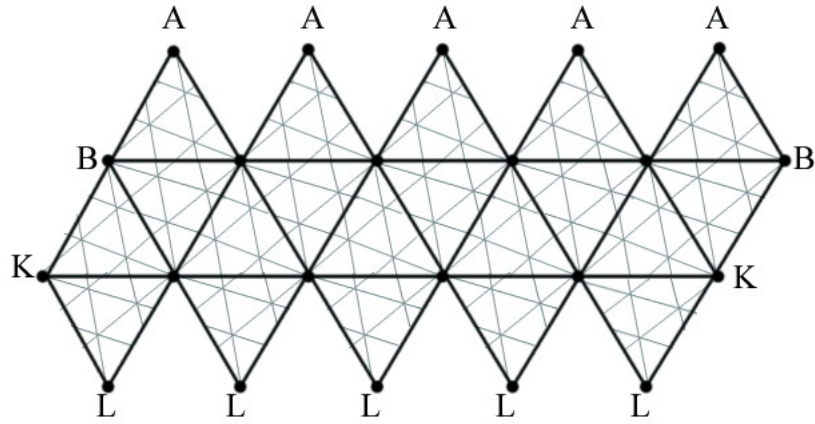


Figura 3: Creazione di un pattern sullo sviluppo piano di un icosaedro

$$\{3, 5\}_{(b,c)}$$

questa è la notazione introdotta da Coxeter ([2]) per classificare le cupole geodetiche in base alla frequenza (figura 2).

Ricapitolando: la frequenza  $(b, c)$  indica che, volendo andare da un vertice dell'icosaedro ad un altro adiacente, procedendo sugli spigoli della tassellazione, dovremo percorrere  $b$  spigoli in una direzione, poi cambiare la direzione di 60 gradi e fare altri  $c$  passi.(figura 4)

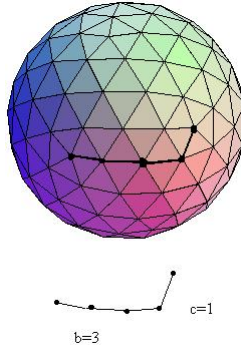


Figura 4: Esempio:  $b=3, c=1$

### 1.1.2 Calcolo dei Triangulation numbers

Vogliamo mostrare come si arriva al calcolo dei "triangulation numbers". Si tratta di calcolare la distanza tra due vertici di grado 5 della cupola utilizzando come unità di misura il lato dei triangolini della tassellazione. I triangoli della tassellazione piana sono equilateri, nel momento in cui verranno proiettati sulla sfera circoscritta non saranno più né  $\frac{1}{2}$  equilateri né uguali tra loro. Questo non influenzerà il conto dei triangoli.

Riprendiamo uno schema simile a quello della figura 4,  $AB$  è il lato dell'icosaedro che vogliamo misurare. Nel caso che stiamo considerando avremo  $b = 10$  e  $c = 6$ . (figura 5)

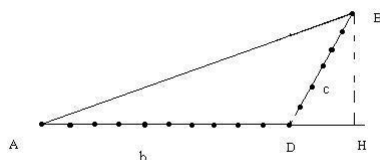


Figura 5: Calcolo di AB

Tracciamo la perpendicolare da  $B$ , pertanto il triangolo  $ABH$  è rettangolo, così come il triangolo  $BDH$ . In particolare l'angolo  $\widehat{BDH}$  misura  $\frac{\pi}{3}$  e  $\widehat{DBH}$  misura  $\frac{\pi}{6}$ , quindi poiché  $BD = c$ , deduciamo che  $DH = \frac{c}{2}$ ,  $BH = \frac{\sqrt{3}}{2}$ . A questo punto

$$AH = AD + DH = b + \frac{c}{2}, \quad BH = \frac{\sqrt{3}}{2}$$

usando il teorema di Pitagora si ha

$$(AB)^2 = (AH)^2 + (BH)^2 = \left(b + \frac{c}{2}\right)^2 + \left(\frac{\sqrt{3}}{2}\right)^2 = b^2 + bc + c^2 := T.$$

L'ultima formula è un'espressione di  $AB$  (al quadrato) in termini di  $b$  e  $c$ , che sono noti, dal momento che abbiamo il modo di calcolarli, osservando una cupola.

Rimane da calcolare ancora il numero di triangoli presenti su una faccia dell'icosaedro, noti i parametri  $b, c$ . Il numero dei triangoli presenti su una faccia dell'icosaedro  $\frac{1}{2}$  pari all'area della faccia diviso l'area di un triangolo piccolo. L'area della faccia è

$$\frac{AB}{2} \cdot \frac{AB \cdot \sqrt{3}}{2} \cdot \frac{1}{2} = \frac{\sqrt{3}(AB)^2}{4} = \frac{\sqrt{3}T^2}{4}$$

mentre l'area di uno dei triangoli da cui è tassellata la faccia dell'icosaedro di lato unitario è

$$\frac{\sqrt{3}}{4}.$$

Dividendo l'area della faccia per l'area del triangolo otteniamo esattamente  $T$ . Un'icosaedro è composto esattamente da 20 facce, quindi  $20T$  è il totale dei triangoli della sfera geodetica. Quindi noti  $b, c$  è possibile con un calcolo immediato conoscere il numero dei triangoli della cupola geodetica a cui si riferiscono i parametri.

### Esercizio-esempio

Contare i triangoli della sfera geodetica in figura 6:

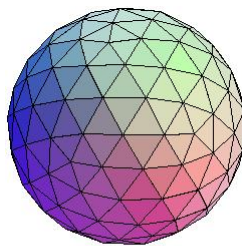


Figura 6: Sfera geodetica (3, 1)

Individuiamo due vertici di grado 5. Calcoliamo  $b$  e  $c$ . Si ha  $(b, c) = (3, 1)$ . Pertanto

$$T = b^2 + bc + c^2 = 9 + 3 + 1 = 13$$

Il totale dei triangoli é  $20T = 260$ .

## Riferimenti bibliografici

- [1] D.L.D. CASPAR, Movement and self-control in protein assemblies *Biophys. J.*, 1980, 103–136.
- [2] M. COXETER, Virus Macromolecules and Geodesic domes *A spectrum of Mathematics* Auckland University Press and Oxford University Press, 1972, 98–107.
- [3] LUCA CARLUCCI, FRANCESCO D'IPPOLITO, PIERLUIGI GALLINA R. Buckminster Fuller e le cupole reticolari geodetiche: metodi e modelli a confronto, tesina AA 2006\2007, Corso di Matematica, Laurea specialistica in PA, Facoltà di Architettura Roma Tre